

В.Э. Адлер · Классические интегрируемые системы

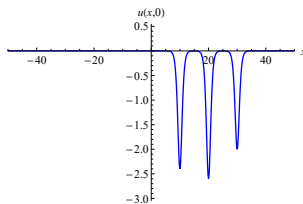
Лекция 6 · 14 марта 2022

Метод обратной задачи рассеяния для КдФ.

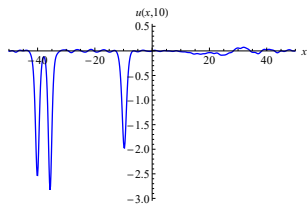
Прямая задача

# Метод обратной задачи рассеяния

Это метод решения задачи Коши для КдФ в классе быстроубывающих потенциалов. Дано начальное условие  $u(x, 0)$ , нужно выяснить, как оно меняется по  $t$ .



$$ut = u_{xxx} - 6uu_x \rightarrow$$



↓  
прямая  
задача

данные рассеяния  
при  $t = 0$

↑  
обратная  
задача

$$\xrightarrow{*e^{k^3 t_1}}$$

данные рассеяния  
при  $t = t_1$

Метод основан на уже известном нам представлении КдФ в виде условия совместности для линейных уравнений

$$\psi_{xx} = (u - \lambda)\psi, \quad \psi_t = u_x\psi - 2(2\lambda + u)\psi_x.$$

**Прямая задача** заключается в определении данных рассеяния для начального потенциала  $u(x, 0)$ .

**Данные рассеяния** состоят из дискретного спектра и набора дополнительных множителей (в примере с потенциалом Баргманна это были нули вронскиана  $k_j$  и коэффициенты  $c_j$ ), а также коэффициента отражения — функции  $r(k)$ ,  $\lambda = k^2$ .

**Эволюция по  $t$**  для данных рассеяния тривиальна. Дискретный спектр не меняется, множители и  $r(k)$  умножаются на экспоненту от  $t$ .

**Обратная задача** заключается в восстановлении потенциала  $u(x, t)$  по измененным данным рассеяния.

- [1] C.S. Gardner, J.M. Greene, M.D. Kruskal, R.M. Miura. Method for solving the Korteweg–de Vries equation. *Phys. Rev. Lett.* **19:19** (1967) [1095–1097](#).
- [2] В.Е. Захаров, С.В. Манаков, С.П. Новиков, Л.П. Питаевский. Теория солитонов. Метод обратной задачи, М.: Наука, 1980.

Насколько это все эффективно?

По существу, чтобы вычислить данные рассеяния по потенциалу, нужно решить соответствующее уравнение Шрёдингера. К сожалению, в явном виде оно, вообще говоря, не решается. К тому же, на практике и может задаваться не формулой, а каким-то массивом чисел. Поэтому, эта задача решается численно. Мы лишь наметим один из возможных методов (интегральные уравнения Вольтерры).

Обратная задача тоже сводится к интегральным уравнениям (есть две версии — уравнение Гельфанд–Левитана–Марченко или система сингулярных ИУ), которые необходимо решать численно.

Итак, на самом деле мы не можем довести этот метод до такого состояния, чтобы посчитать что-то «вручную», разве что за исключением каких-то специальных примеров типа потенциалов Баргманна.

Реализация численных методов также довольно сложна и мы этим не будем заниматься.

Однако, на принципиальном уровне, МОЗР даёт решение, так как нелинейная задача сводится к последовательности линейных интегральных уравнений. Нашей целью будет просто описать алгоритм этого сведения.

# План

На этой лекции:

- Спектр оператора Шрёдингера (с быстроубывающим потенциалом)
- Прямая задача
  - ▶ Сведение уравнения Шрёдингера к интегральному
  - ▶ Функции Йоста
  - ▶ Матрица перехода
  - ▶ Свойства матрицы перехода
  - ▶ Дискретный спектр
  - ▶ Данные рассеяния

На следующей лекции:

- Зависимость данных рассеяния от  $t$
- Обратная задача (методом сингулярных интегральных уравнений)

# Спектр оператора Шрёдингера

Про переменную  $t$  мы временно забудем — вплоть до того момента, когда нужно будет смотреть на зависимость данных рассеяния от  $t$ . Сегодня считаем, что потенциал зависит лишь от  $x$ :

$$\psi_{xx} = (u(x) - \lambda)\psi \Leftrightarrow L\psi = \lambda\psi, \quad L = -\partial_x^2 + u.$$

Условие быстроубывания:  $\int_{\mathbb{R}} |u|(1 + |x|)dx < \infty$ .

Не будем давать общее определение спектра. В случае оператора  $L$  достаточно определить

- непрерывный спектр — значения  $\lambda$ , для которых существует решение  $\psi$ , ограниченное при  $x \in \mathbb{R}$ ;
- дискретный спектр — значения  $\lambda$ , для которых существует решение  $\psi \in L^2(\mathbb{R})$ , то есть  $\int_{\mathbb{R}} |\psi|^2 dx < \infty$ .

Будем пользоваться без доказательства следующими свойствами:

- непрерывный спектр состоит из всех  $\lambda \geq 0$ ;
- дискретный спектр отрицателен и конечен:  $\lambda_1 < \lambda_2 < \dots < \lambda_n < 0$  (существенно, что потенциал убывает быстрее  $1/x^2$ , так как иначе собственные значения могут накапливаться к 0).

# Сведение уравнения Шрёдингера к интегральному

Обозначим  $\lambda = k^2 \in \mathbb{C}$ , запишем уравнение Шрёдингера в виде

$$\psi_{xx} + k^2\psi = u\psi \quad \Rightarrow \quad A\psi = f, \quad A = \partial_x^2 + k^2, \quad f = u\psi, \quad (1)$$

и применим метод функций Грина, чтобы свести его к интегральному.

(! На лекции 4 о  $n$ -солитонном решении было  $\lambda = -z^2$ .)

**Определение 1.** Функцией Грина (фундаментальным решением)  $G(x, y)$  для дифференциального оператора  $A$ , действующего на функциях  $\psi : \mathbb{R}_x \rightarrow \mathbb{R}_x$ , называется решение уравнения

$$AG(x, y) = \delta(x - y).$$

Зная  $G$ , можно найти частное решение уравнения  $A\psi = f(x)$  по формуле

$$\psi_{\text{ч}} = \int_{\mathbb{R}} G(x, y)f(y) dy.$$

Действительно,

$$A\psi_{\text{ч}} = \int_{\mathbb{R}} \delta(x - y)f(y) dy = f(x).$$

Применяя эту формулу к уравнению (1) и добавляя общее решение однородного уравнения, получим

$$\psi(x) = c_1 e^{ikx} + c_2 e^{-ikx} + \int_{\mathbb{R}} G(x, y) u(y) \psi(y) dy. \quad (2)$$

Это интегральное уравнение на функцию  $\psi$ , при конкретном выборе  $c_1, c_2$  и  $G$ .

Остается найти  $G$  для нашего оператора. Нетрудно видеть, что если  $A$  — оператор с постоянными коэффициентами, то  $G(x, y) = G(x - y)$ , где  $AG(x) = \delta(x)$ .

**Утверждение 1.** Оператор  $A = \partial_x^2 + k^2$  обладает функциями Грина

$$G_-(x) = \begin{cases} -\frac{\sin kx}{k} & x < 0 \\ 0 & x \geq 0, \end{cases} \quad G_+(x) = \begin{cases} 0 & x < 0 \\ \frac{\sin kx}{k} & x \geq 0. \end{cases}$$

Так как  $A(G_+ - G_-) = 0$ , то достаточно проверить это для одной функции.

Конечно, ф.Г. служит и любая линейная комбинация  $\alpha G_+ + (1 - \alpha)G_-$ .

## *Доказательство.*

$$G'_-(x) = \begin{cases} -\cos kx & x < 0 \\ 0 & x \geq 0 \end{cases} = \theta(x) + \begin{cases} -\cos kx & x < 0 \\ -1 & x \geq 0, \end{cases}$$

где  $\theta(x) = \begin{cases} 0 & x < 0 \\ 1 & x \geq 0 \end{cases}$  — функция Хевисайда. Так как  $\theta'(x) = \delta(x)$ , то

$$G''_-(x) = \delta(x) + \begin{cases} k \sin kx & x < 0 \\ 0 & x \geq 0 \end{cases} = \delta(x) - k^2 G_-(x). \quad \blacksquare$$

Пусть, например,  $G = G_+$ . Так как  $G_+(x-y) = 0$  при  $x < y$ , то интегрирование по  $y$  идёт от  $-\infty$  до  $x$ :

$$\psi(x) = c_1 e^{ikx} + c_2 e^{-ikx} + \int_{-\infty}^x \frac{\sin k(x-y)}{k} u(y) \psi(y) dy. \quad (3)$$

**Замечание.** Метод функций Грина использовать не обязательно. Формулу (3) можно проверить непосредственно либо вывести методом вариации постоянных, см. ДЗ 17.

Уравнение (3) — это интегральное уравнение Вольтерры второго рода

$$\psi(x) = g(x) + \int_{-\infty}^x K(x, y)\psi(y) dy.$$

Такие уравнения можно решать численно методом итераций

$$\psi_0 = 0, \quad \psi_{n+1}(x) = g(x) + \int_{-\infty}^x K(x, y)\psi_n(y) dy.$$

Можно показать, что если  $|K(x, y)| < M$ , то итерации сходятся экспоненциально быстро, решение существует и единственno.

# Функции Йоста

В зависимости от выбора  $g$  и  $G$  в интегральном уравнении (2), можно определить четыре решения с разной асимптотикой при  $x \rightarrow \pm\infty$ .

$G = G_+$ : два решения с фиксированной асимптотикой при  $x \rightarrow -\infty$ :

$$\begin{aligned}\varphi_1 &= e^{-ikx} + \int_{-\infty}^x \frac{\sin k(x-y)}{k} u(y) \varphi_1(y) dy, & \varphi_1 &= e^{-ikx} + o(1), \\ \varphi_2 &= e^{ikx} + \int_{-\infty}^x \frac{\sin k(x-y)}{k} u(y) \varphi_2(y) dy, & \varphi_2 &= e^{ikx} + o(1).\end{aligned}$$

$G = G_-$ : два решения с фиксированной асимптотикой при  $x \rightarrow +\infty$ :

$$\begin{aligned}\psi_1 &= e^{-ikx} - \int_x^\infty \frac{\sin k(x-y)}{k} u(y) \psi_1(y) dy, & \psi_1 &= e^{-ikx} + o(1), \\ \psi_2 &= e^{ikx} - \int_x^\infty \frac{\sin k(x-y)}{k} u(y) \psi_2(y) dy, & \psi_2 &= e^{ikx} + o(1).\end{aligned}$$

Решения этих уравнений называются функциями Йоста. Это комплекснозначные функции от двух переменных —  $x \in \mathbb{R}$  и параметра  $k \in \mathbb{C}$ . Разберемся, какие у них свойства по  $k$ .

Пусть  $\varphi_1 = e^{-ikx} p$ , тогда уравнение для  $\varphi_1$  переписывается как

$$\begin{aligned} p &= 1 + \int_{-\infty}^x e^{ikx-iky} \frac{e^{ik(x-y)} - e^{-ik(x-y)}}{2ki} u(y)p(y) dy \\ &= 1 + \int_{-\infty}^x \frac{e^{2ik(x-y)} - 1}{2ki} u(y)p(y) dy. \end{aligned}$$

Так как интегрируем при  $x - y > 0$ , то функция  $e^{2ik(x-y)}$  ограничена при  $\operatorname{Im} k \geq 0$ . Вместе с ней ограничено и все ядро, метод итераций сходится и функция  $p$  однозначно определена. Итак, можно гарантировать, что  $\varphi_1$  определена в верхней полуплоскости  $\operatorname{Im} k \geq 0$ .

Уравнение для  $\varphi_2$  получается при замене  $k \rightarrow -k$ , поэтому  $\varphi_2$  определена при  $\operatorname{Im} k \leq 0$ .

Для  $\psi_1 = e^{-ikx} p$  подынтегральное выражение то же самое, но теперь интегрируем при  $x - y < 0$ . Поэтому  $\psi_1$  определена при  $\operatorname{Im} k \leq 0$ , а  $\psi_2$  при  $\operatorname{Im} k \geq 0$ .

**Утверждение 2.** Для уравнения Шредингера существуют решения со следующими асимптотиками и аналитические по  $k$  в указанных полуплоскостях:

$x \rightarrow -\infty$	$x \rightarrow +\infty$	
$\varphi_1 = e^{-ikx} + o(1)$	$\psi_2 = e^{ikx} + o(1)$	$\operatorname{Im} k \geq 0$
$\varphi_2 = e^{ikx} + o(1)$	$\psi_1 = e^{-ikx} + o(1)$	$\operatorname{Im} k \leq 0$

Эту асимптотику можно дифференцировать по  $x$ , например

$$\varphi_{1,x} = -ike^{-ikx} + o(1), \quad x \rightarrow -\infty.$$

Область определения и аналитичности по  $k$  для функций Йоста, отвечающих конкретным потенциалам, вполне может быть шире, чем указано. Например, если потенциал финитен, то интервал интегрирования ограничен его носителем и ядро всегда ограничено, поэтому функции Йоста определены при всех  $k \in \mathbb{C}$ . Утверждение 2 лишь гарантирует аналитичность в полуплоскостях при самых слабых предположениях относительно потенциала.

Решения Йоста не обязательно определять именно через интегральные уравнения. Если можно решить уравнение Шрёдингера как-то иначе, можно строить их и другими способами.

**Пример 1.** Вернемся к потенциалу Баргманна из лекции 4. В силу самого его определения, для него имеется явное решение в виде квазиполинома

$$\psi(x, z) = e^{zx} P(x, z) = e^{zx} (z^n + p_1 z^{n-1} + \cdots + p_n),$$

где  $\lambda = k^2 = -z^2$  и коэффициенты рекуррентно определяются по потенциалу, с использованием интегрирования по  $x$ . Для определенности, пусть  $z = -ik$ , тогда

$$\psi(x, -ik) = e^{-ikx} \begin{cases} P(k) + o(1), & x \rightarrow -\infty, \\ \tilde{P}(k) + o(1), & x \rightarrow +\infty, \end{cases}$$

где  $P$  и  $\tilde{P}$  — конечные предельные значения коэффициентов (как мы знаем, они находятся по формулам Крамера через определители экспонент). То есть, эта функция совпадает с  $\varphi_1$  и  $\psi_1$ , с точностью до множителя. Аналогично,  $\psi(x, ik)$  пропорциональна  $\varphi_2$  и  $\psi_2$ .

## Свойства симметрии по $k$

Как уже отмечалось,

$$\varphi_1(x, k) = \varphi_2(x, -k), \quad \psi_1(x, k) = \psi_2(x, -k). \quad (4)$$

Кроме того, так как потенциал вещественный, то, если к интегральным уравнениям применить комплексное сопряжение, заменится только  $i$  на  $-i$  и  $k$  на  $k^*$ . Следовательно

$$\varphi_1(x, k)^* = \varphi_2(x, k^*), \quad \psi_1(x, k)^* = \psi_2(x, k^*). \quad (5)$$

Как следствие, получаем связь между значениями одной и той же функции при отражении относительно мнимой оси:

$$\varphi_i(x, k)^* = \varphi_i(x, -k^*), \quad \psi_i(x, k)^* = \psi_i(x, -k^*), \quad i = 1, 2. \quad (6)$$

В частности, на мнимой полуоси имеем

$$\varphi_1(x, iz), \quad \psi_2(x, iz) \in \mathbb{R}, \quad z > 0. \quad (7)$$

## Матрица перехода

При  $k \in \mathbb{R}$  (то есть, при  $\lambda = k^2 > 0$ ) определены все четыре функции Йоста. Обе пары  $(\varphi_1, \varphi_2)$  и  $(\psi_1, \psi_2)$  образуют базисы. Следовательно, все решения уравнения Шредингера при  $k \in \mathbb{R}$  имеют тригонометрическую асимптотику и ограничены при всех  $x$ . То есть, это функции непрерывного спектра.

Рассмотрим матрицу перехода между указанными базисами. По свойству симметрии (5), для вещественных  $k$  выполняется

$$\varphi_1(x, k)^* = \varphi_2(x, k), \quad \psi_1(x, k)^* = \psi_2(x, k).$$

Поэтому, если

$$\varphi_1 = a\psi_1 + b\psi_2 = a\psi_1 + b\psi_1^*,$$

то

$$\varphi_2 = \varphi_1^* = a^*\psi_1^* + b^*\psi_2^* = b^*\psi_1 + a^*\psi_2,$$

Следовательно,

$$\begin{pmatrix} \varphi_1 \\ \varphi_2 \end{pmatrix} = T(k) \begin{pmatrix} \psi_1 \\ \psi_2 \end{pmatrix}, \quad T(k) = \begin{pmatrix} a & b \\ b^* & a^* \end{pmatrix}.$$

## Терминология

$a(k)$  — амплитуда рассеяния

$t(k) = 1/a(k)$  — коэффициент прохождения

$r(k) = b(k)/a(k)$  — коэффициент отражения

После деления на  $b$  имеем

$$t(k)\varphi_1 = \psi_1 + r(k)\psi_2,$$

где  $\varphi_1 \sim e^{-ikx}$ ,  $x \rightarrow -\infty$ ,  $\psi_1 \sim e^{-ikx}$ ,  $\psi_2 \sim e^{ikx}$ ,  $x \rightarrow +\infty$ .

Здесь  $\psi_1$  интерпретируется как волна, «падающая» на потенциал (справа);  $\psi_2$  — «отраженная» волна,  $\varphi_1$  — волна «прошедшая» через потенциал.

**Пример 1'.** В примере 1 было отмечено, что обе функции  $\varphi_1$  и  $\psi_1$  пропорциональны одному и тому же квазимногочлену  $\psi(x, -ik)$ , а  $\varphi_2$  и  $\psi_2$  пропорциональны  $\psi(x, ik)$ . Следовательно, коэффициент  $b(k)$  в данном случае равен 0, потенциал Баргманна — безотражательный.

**Замечание.** Матрица перехода обобщается и на тот случай, когда потенциал выходит на разные константы при  $x \rightarrow \pm\infty$ , см. [Ландау-Лифшиц, 3:25].

# Свойства

1)  $a(k)^* = a(-k), \quad b(k)^* = b(-k), \quad k \in \mathbb{R}.$

Равносильно,  $r(k)^* = r(-k), \quad t(k)^* = t(-k).$

Это сразу следует из свойств симметрии.

2)  $\det T = |a(k)|^2 - |b(k)|^2 = 1, \quad k \in \mathbb{R}.$

Равносильно,  $|r(k)|^2 + |t(k)|^2 = 1.$

**Доказательство.** Продифференцируем определение матрицы перехода по  $x$ , это даст

$$\begin{pmatrix} \varphi_1 & \varphi'_1 \\ \varphi_2 & \varphi'_2 \end{pmatrix} = T(k) \begin{pmatrix} \psi_1 & \psi'_1 \\ \psi_2 & \psi'_2 \end{pmatrix}.$$

Вронскианы  $\varphi_1\varphi'_2 - \varphi'_1\varphi_2$  и  $\psi_1\psi'_2 - \psi'_1\psi_2$  не зависят от  $x$ . Первый из них можно вычислить при  $x \rightarrow -\infty$ , второй при  $x \rightarrow +\infty$ , оба равны

$$\det \begin{pmatrix} e^{-ikx} & -ike^{-ikx} \\ e^{ikx} & ike^{ikx} \end{pmatrix} = 2ik.$$



**3)** Выражения для  $a(k)$ ,  $b(k)$  через вронскианы от функций Йоста:

$$a(k) = \frac{W(\varphi_1, \psi_2)}{2ik}, \quad b(k) = -\frac{W(\varphi_1, \psi_1)}{2ik}, \quad k \in \mathbb{R}, \quad k \neq 0. \quad (8)$$

*Доказательство.* Имеем

$$\varphi_1 = a\psi_1 + b\psi_2 \quad \Rightarrow \quad W(\varphi_1, \psi_2) = aW(\psi_1, \psi_2) = 2ika$$

и, аналогично  $W(\varphi_1, \psi_1) = -bW(\psi_1, \psi_2) = -2ikb$ . ■

**4)** Формула (8) определяет аналитическое продолжение  $a(k)$  в верхнюю полуплоскость, так как там определены обе функции  $\varphi_1$ ,  $\psi_2$ . При этом, благодаря свойствам симметрии (6),

$$a(k)^* = a(-k^*), \quad \operatorname{Im} k \geq 0.$$

Но, вообще говоря,  $b(k)$  не продолжается в  $\mathbb{C}$ .

## Выражения для $a(k)$ , $b(k)$ через интегралы

Формулы (8) не очень удобны, так как содержат две функции Йоста и дифференцирование (плохая операция, с вычислительной точки зрения). Вспомним интегральные уравнения и немного попреобразуем:

$$\varphi_1 = e^{-ikx} + \int_{-\infty}^x \frac{\sin k(x-y)}{k} u(y) \varphi_1(y) dy,$$

$$\psi_1 = e^{-ikx} - \int_x^{\infty} \frac{\sin k(x-y)}{k} u(y) \psi_1(y) dy,$$

$$\psi_2 = e^{ikx} - \int_x^{\infty} \frac{\sin k(x-y)}{k} u(y) \psi_2(y) dy$$

(здесь  $k$  в аргументах  $\psi$  опущено), тогда

$$\begin{aligned} a\psi_1 + b\psi_2 &= \varphi_1 = e^{-ikx} + \int_{\mathbb{R}} - \int_x^{\infty} \\ &= e^{-ikx} + I - \int_x^{\infty} \frac{\sin k(x-y)}{k} u(y) (a\psi_1 + b\psi_2) dy \\ &= e^{-ikx} + I + a(\psi_1 - e^{-ikx}) + b(\psi_2 - e^{ikx}). \end{aligned}$$

Отсюда следует

$$\begin{aligned} e^{-ikx}(a - 1) + be^{ikx} &= I = \int_{\mathbb{R}} \frac{\sin k(x-y)}{k} u(y) \varphi_1(y) dy \\ &= \int_{\mathbb{R}} \frac{e^{ik(x-y)} - e^{-ik(x-y)}}{2ik} u(y) \varphi_1(y) dy \\ &= \frac{e^{ikx}}{2ik} \int_{\mathbb{R}} e^{-iky} u(y) \varphi_1(y) dy - \frac{e^{-ikx}}{2ik} \int_{\mathbb{R}} e^{iky} u(y) \varphi_1(y) dy. \end{aligned}$$

Сравнивая коэффициенты при экспонентах и меняя  $y$  на  $x$ , получаем следующее свойство.

**5)** Интегральные выражения для  $a(k)$ ,  $b(k)$ :

$$a(k) = 1 - \frac{1}{2ik} \int_{\mathbb{R}} e^{ikx} u(x) \varphi_1(x, k) dx, \quad (9)$$

$$b(k) = \frac{1}{2ik} \int_{\mathbb{R}} e^{-ikx} u(x) \varphi_1(x, k) dx. \quad (10)$$

Формула (9), как и (8), определяет продолжение  $a(k)$  в верхнюю полуплоскость: при  $x \rightarrow -\infty$  интеграл сходится, так как  $e^{ikx} \varphi_1(x, k) \sim 1$ , а потенциал быстроубывающий; при  $x \rightarrow \infty$  интеграл сходится, так как  $e^{ikx}$  — убывающая экспонента при  $\operatorname{Im} k > 0$ .

Вообще говоря,  $b(k)$  не продолжается с вещественной оси. Иногда это возможно. Например, если потенциал финитный, то видно, что интеграл (10) тоже сходится. Но, продолжение  $b$  нам не будет нужно.

## 6) Асимптотика по $k$ :

$$\begin{aligned} a(k) &= 1 + O(k^{-1}), \quad |k| \rightarrow \infty, \quad \operatorname{Im} k \geq 0, \\ b(k) &= O(k^{-1}), \quad |k| \rightarrow \infty, \quad k \in \mathbb{R}. \end{aligned}$$

Также из (9) следует, что  $a(k)$ , вообще говоря, имеет простой полюс при  $k = 0$  (для некоторых потенциалов его может и не быть, если интеграл при  $k = 0$  случайно обращается в 0).

# Дискретный спектр

**Утверждение 3.** Точки дискретного спектра оператора  $L = -\partial_x^2 + u$  совпадают с числами  $\lambda_j = k_j^2$ , где  $k_j$  — нули функции  $a(k)$  в верхней полуплоскости.

**Доказательство.** Пусть  $a(k_j) = 0$ , тогда из (8) вытекает, что

$$\varphi_1(x, k_j) = c_j \psi_2(x, k_j), \quad (11)$$

причём на обеих бесконечностях имеем убывающие экспоненты:

$$\varphi_1(x, k_j) \sim e^{-ikx}, \quad x \rightarrow -\infty, \quad \psi_2(x, k_j) \sim e^{ikx}, \quad x \rightarrow +\infty.$$

Наоборот, пусть  $y$  — собственная функция, отвечающая некоторому  $k_j$ . Тогда она имеет асимптотику как  $\varphi_1(x, k_j)$  при  $x \rightarrow -\infty$  и как  $\psi_2(x, k_j)$  при  $x \rightarrow +\infty$  (с точностью до множителей). Так как вронскианы постоянны, их можно вычислить на бесконечностях и получить, что они равны 0. Это означает, что  $y = C_1 \varphi_1(x, k_j) = C_2 \psi_2(x, k_j)$ , но тогда и  $W(\varphi_1(x, k_j), \psi_2(x, k_j)) = 2ik_j a(k_j) = 0$ .



Так как спектр  $L$  вещественный, получаем отсюда следующее свойство.

7) Нули  $a(k)$  лежат на мнимой оси. Они простые и их конечное число:

$$k_j = i\kappa_j, \quad \kappa_j > 0, \quad j = 1, \dots, n.$$

Собственные числа нумеруются по возрастанию:

$$-\kappa_1^2 < -\kappa_2^2 < \dots < -\kappa_n^2 < 0.$$

Соответственно,  $\kappa_j$  нумеруются по убыванию,  $\kappa_1 > \kappa_2 > \dots > \kappa_n > 0$ .

Коэффициенты пропорциональности  $c_j$  в нулях  $k_j$  относятся к данным дискретного спектра. Они не совсем произвольны:

8) Коэффициенты  $c_j$  вещественны и удовлетворяют правилу чередования знаков:

$$c_1 > 0, \quad c_2 < 0, \quad \dots, \quad \operatorname{sign} c_n = (-1)^{n+1}.$$

**Доказательство.** Вещественность следует из того, что функции Йоста на мнимой оси вещественны, см. (7). Чередование следует из того, что  $j$ -я собственная функция имеет ровно  $j - 1$  нуль при  $x \in \mathbb{R}$ , а у нас знаки функций Йоста фиксируются асимптотиками на разных бесконечностях:

$$\varphi_1(x, i\kappa_j) \sim e^{\kappa_j x} \quad \text{при } x \rightarrow -\infty, \quad \varphi_2(x, i\kappa_j) \sim e^{-\kappa_j x} \quad \text{при } x \rightarrow +\infty. \quad \blacksquare$$

# На сегодня хватит!

Итак, мы поставили в соответствие потенциалу  $u(x)$ :

- функции  $a(k)$ ,  $b(k)$ ,  $k \in \mathbb{R}$  (данные непрерывного спектра);
- числа  $\kappa_1 > \kappa_2 > \dots > \kappa_n > 0$  и  $c_1, \dots, c_n$ ,  $\text{sign } c_j = (-1)^{j+1}$  (данные дискретного спектра).

Этот набор данных немного избытен, так как дискретный спектр совпадает с нулями аналитического продолжения  $a(k)$ . К тому же он несвобден, так как  $a$  и  $b$  связаны соотношением  $|a|^2 - |b|^2 = 1$ .

На следующей лекции мы покажем, что вместо  $a$  и  $b$  достаточно задать одну функцию  $r(k) = b(k)/a(k)$ , при  $k \in \mathbb{R}$ .

Также включим  $t$  и выясним, как при этом меняются спектральные данные.

Наконец, выведем интегральные уравнения для восстановления  $u(x, t)$ .

## Домашнее задание

**Задача 17.** (Выполнять, только если это не проходили в других курсах.) Проверьте прямым дифференцированием, что решение интегрального уравнения (3) удовлетворяет уравнению Шрёдингера, либо выведите уравнение (3) методом вариации произвольных постоянных (в формуле для решения однородного уравнения  $\psi(x) = c_1 e^{ikx} + c_2 e^{-ikx}$  считаем  $c_1$ ,  $c_2$  функциями от  $x$  и определяем их так, чтобы получалось решение неоднородного уравнения).

Все следующие задачи связаны с уравнением Шрёдингера с дельта-образным потенциалом  $u(x) = c\delta(x)$ :

$$\psi'' = (c\delta(x) - k^2)\psi. \quad (12)$$

**Задача 18.** Постройте все четыре функции Йоста для этого уравнения. Рассмотрите оба случая  $c < 0$  и  $c > 0$ .

*Замечание.* Есть по крайней мере два способа решения. Во-первых, можно использовать интегральные уравнения, они легко решаются. Во-вторых, можно решить уравнение на полуосиях, выбрать решения с нужной асимптотикой и сшить в 0. Интегрируя уравнение по  $[-\varepsilon, \varepsilon]$ , получаем

$$\int_{-\varepsilon}^{\varepsilon} \psi'' dx \rightarrow c\psi(0), \quad \varepsilon \rightarrow 0,$$

то есть, решение должно подчиняться условию излома

$$\psi'(+0) - \psi'(-0) = c\psi(0).$$

**Задача 19.** Найдите в явном виде коэффициенты  $a(k)$ ,  $b(k)$  для (12).

**Задача 20.** Пользуясь полученными выражениями, проверьте, что свойства 1–6 для  $a$  и  $b$  действительно выполняются, как предсказывает теория.

**Задача 21.** Найдите дискретный спектр для (12), если он есть (как это связано со знаком  $c$ ?) и соответствующие собственные функции. Сравните с нулями  $a(k)$ .